

FIG. 1

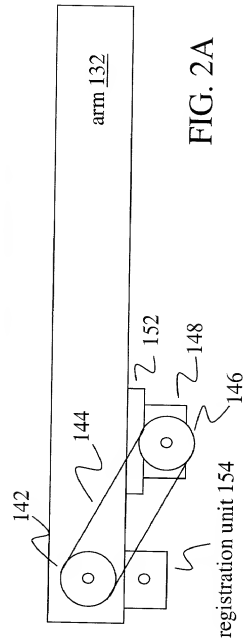
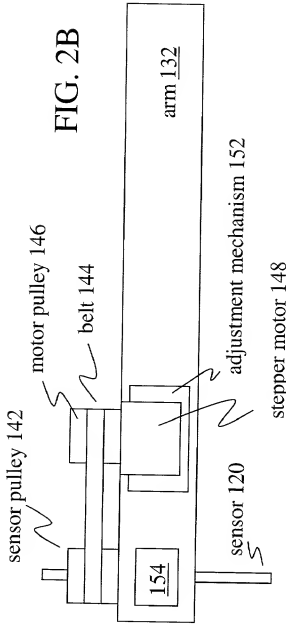


FIG. 2A



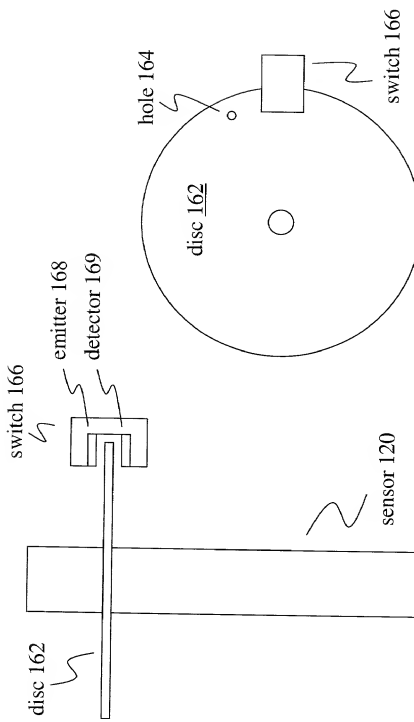
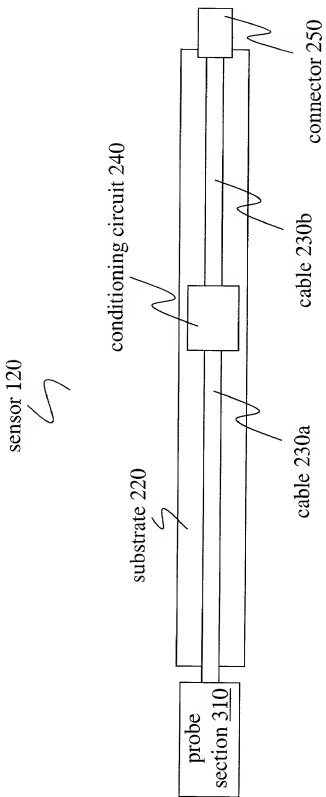


FIG. 3A FIG. 3B

FIG. 4



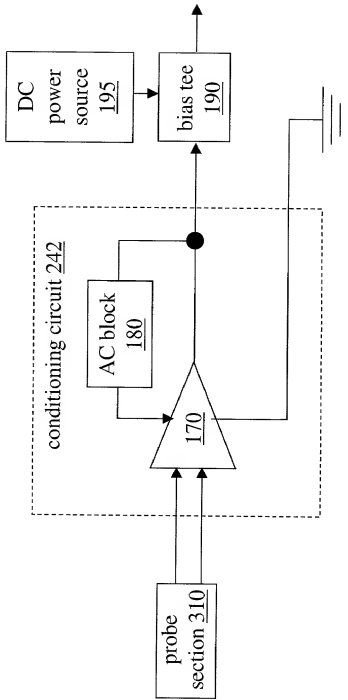


FIG. 5

FIG. 6

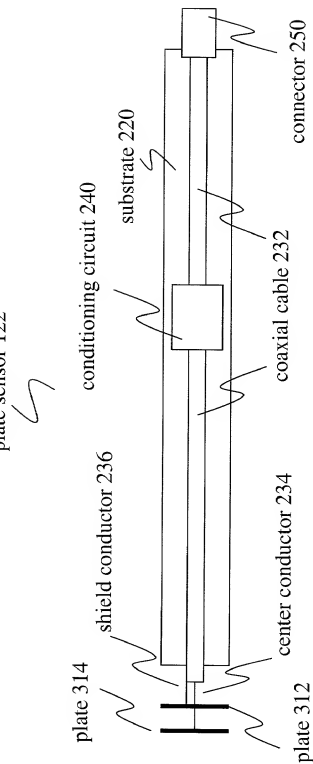


FIG. 7A

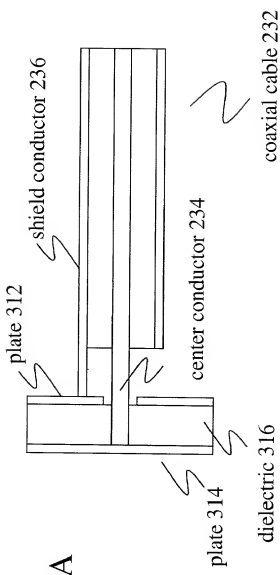


FIG. 7B

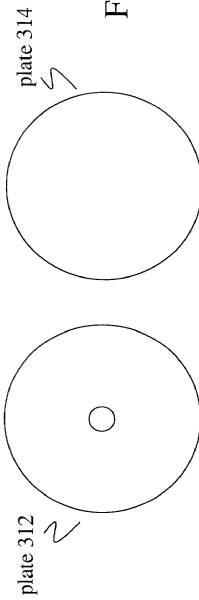


FIG. 8

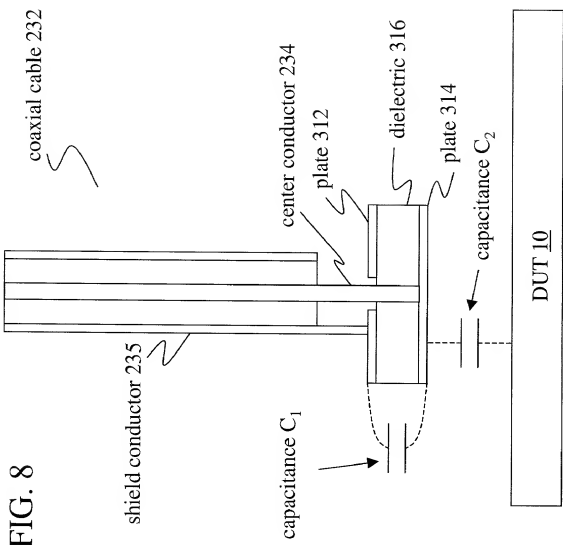
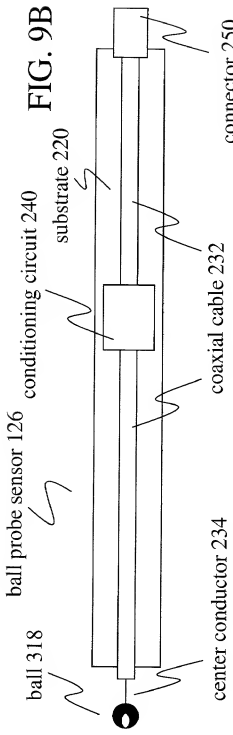
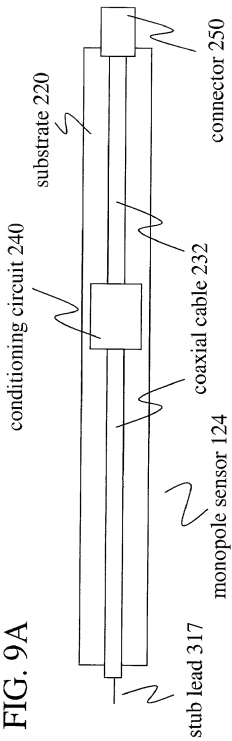


FIG. 9A



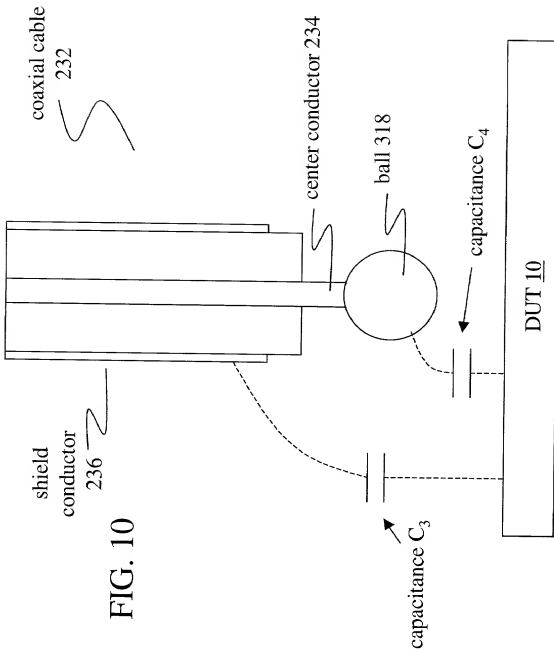


FIG. 10

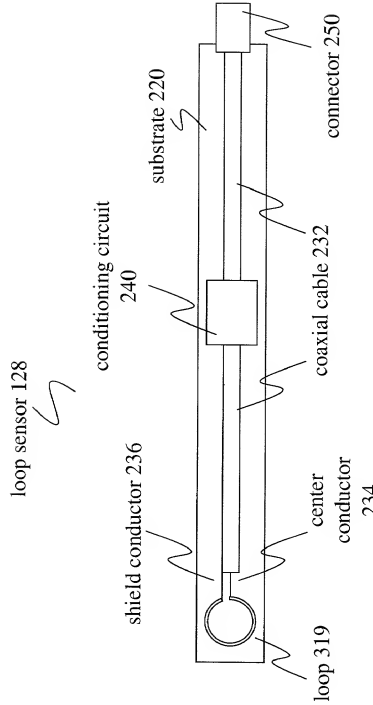


FIG. 11

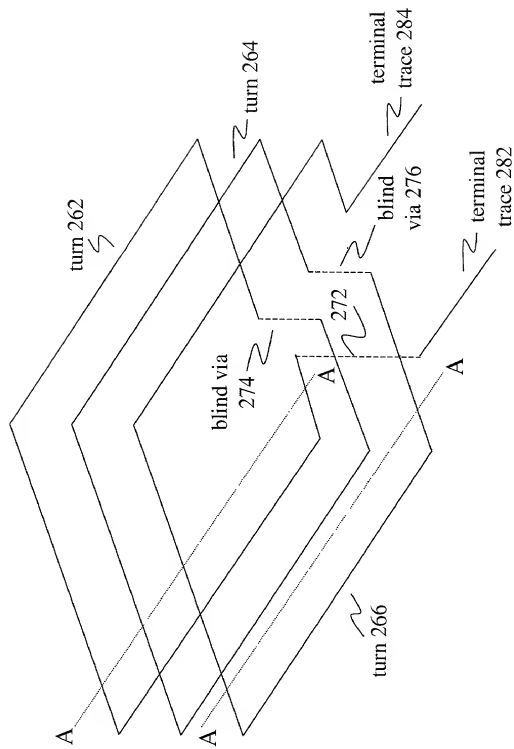


FIG. 12

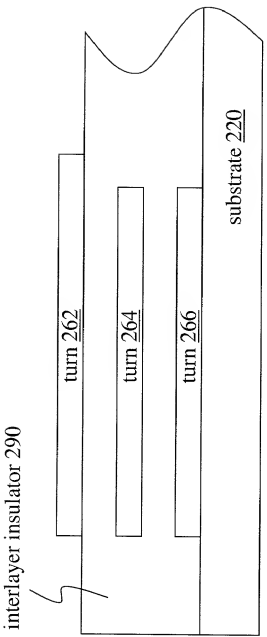


FIG. 13

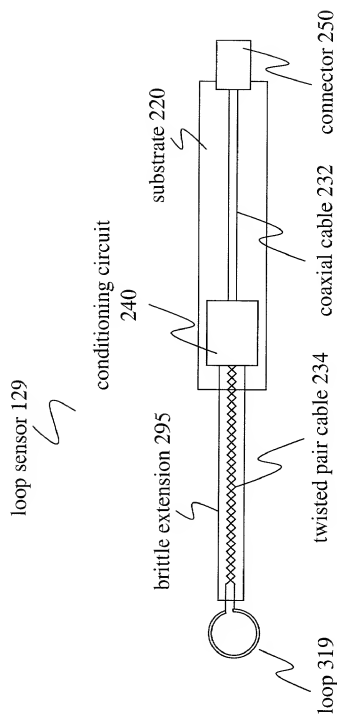


FIG. 14

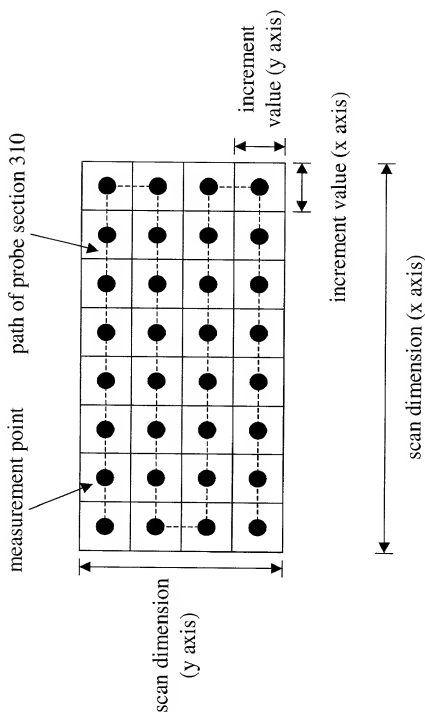


FIG. 15

FIG. 16

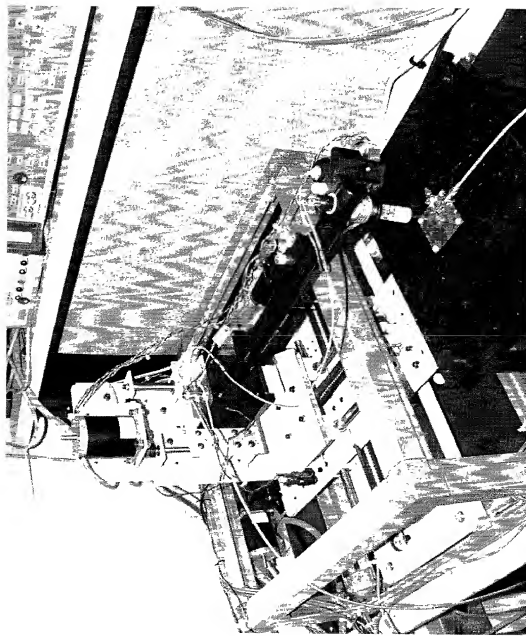


FIG. 17

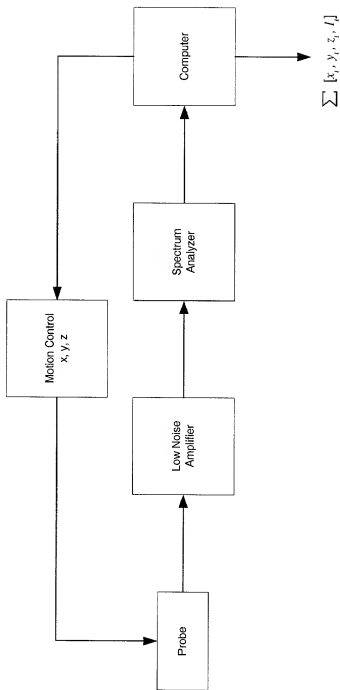
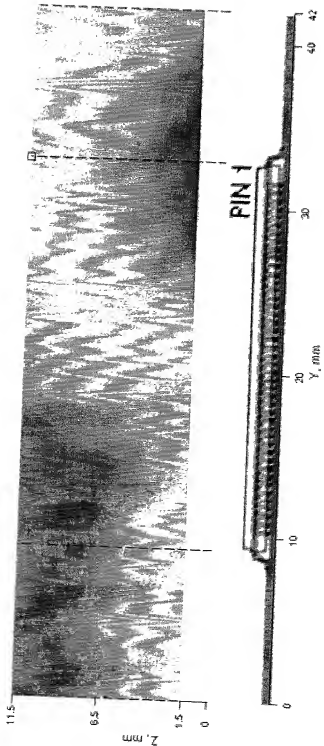


FIG. 18



TOESE, TIESE, DODD

FIG. 19

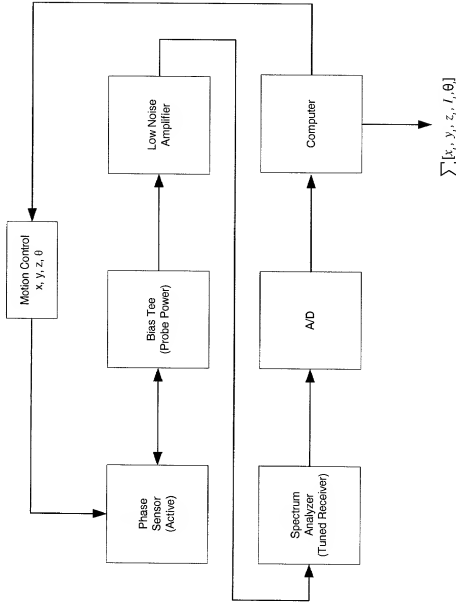
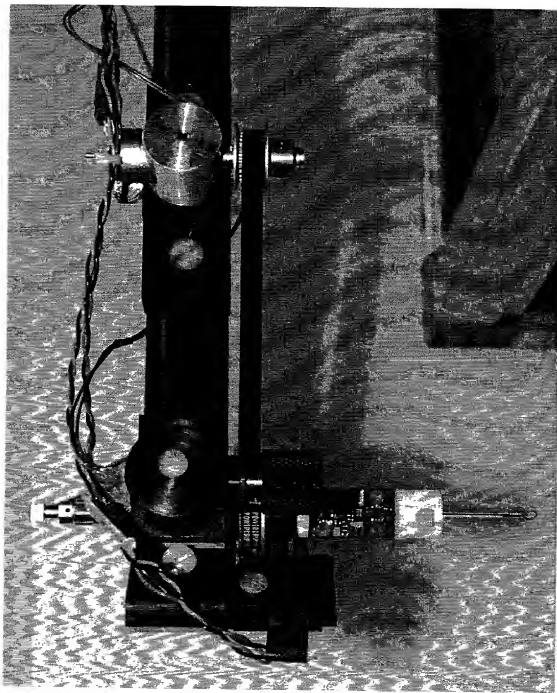


FIG. 20



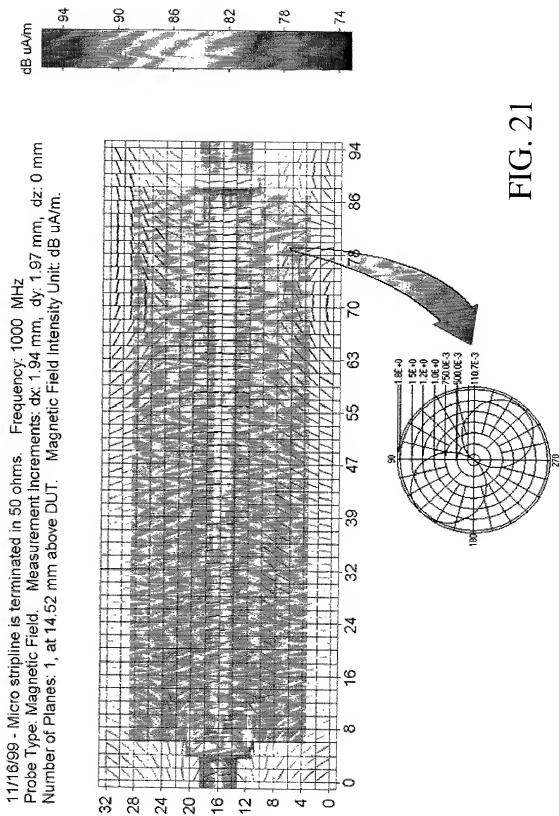


FIG. 21

FIGURE 22. A photograph of the probe assembly.

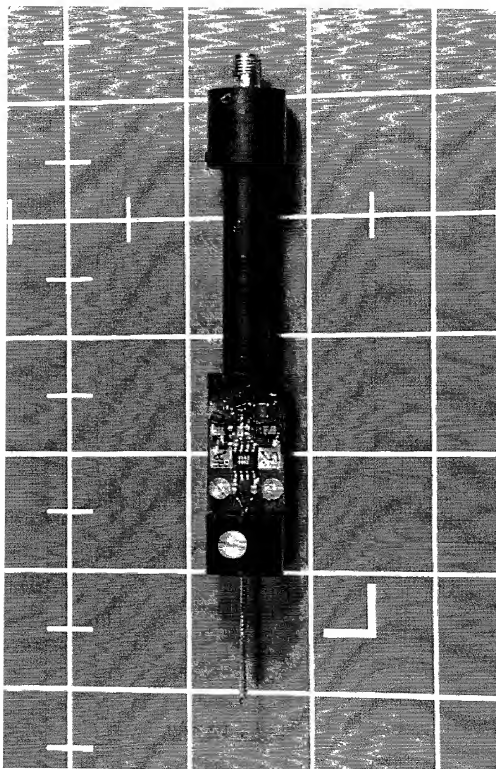


FIG. 22

FIGURE 23 = FIGURE 23

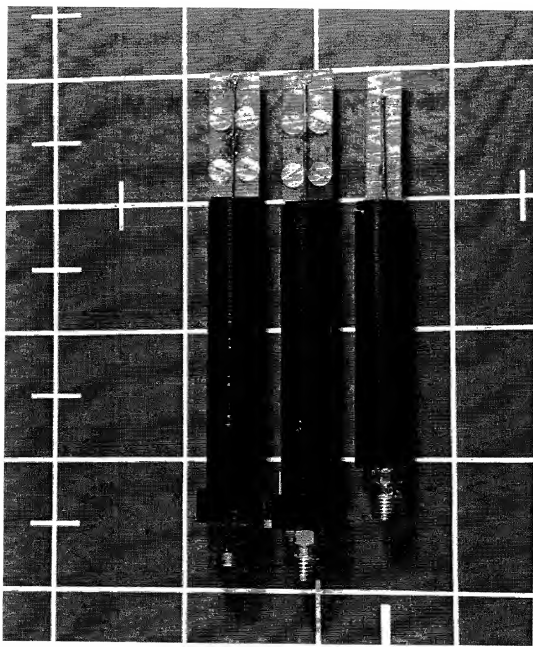
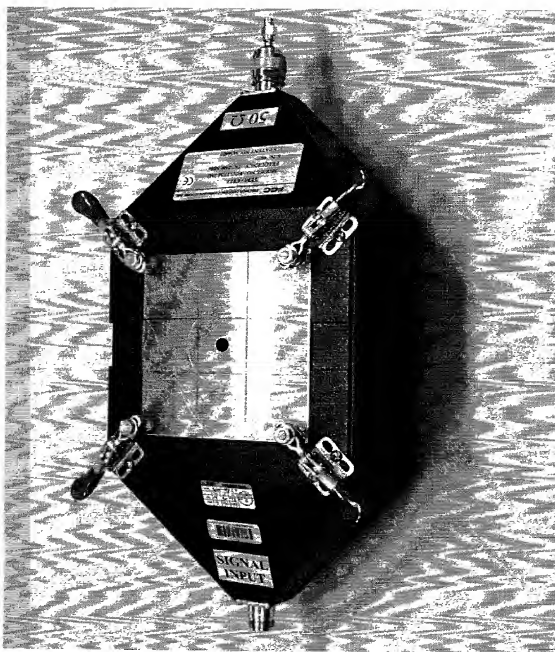


FIG. 23

FIG. 24



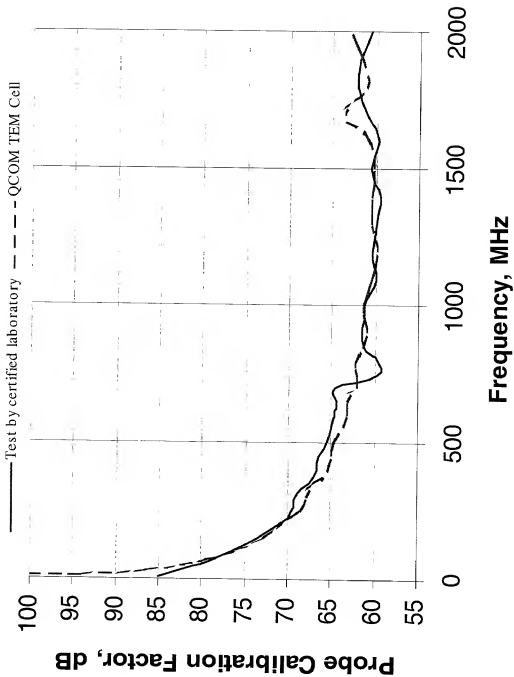


FIG. 25

FIG. 26

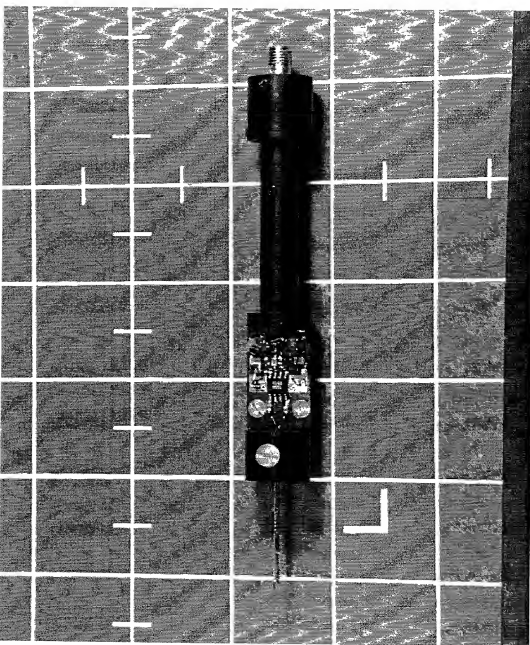
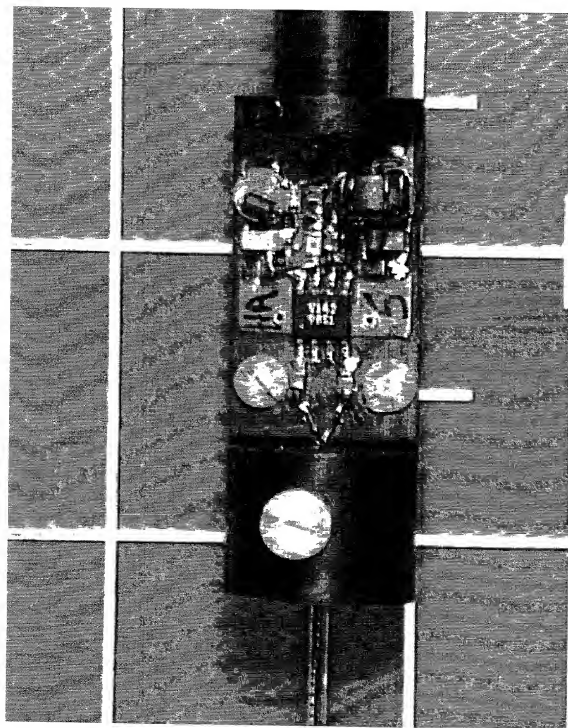


FIG. 27



1000000 - 1000000000

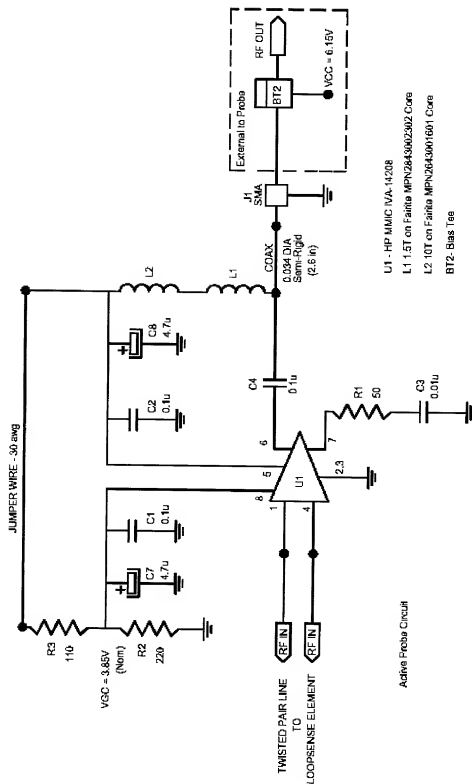


FIG. 28

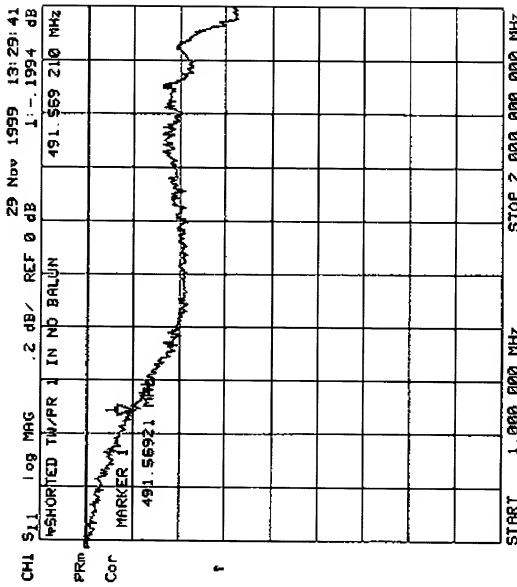


FIG. 29

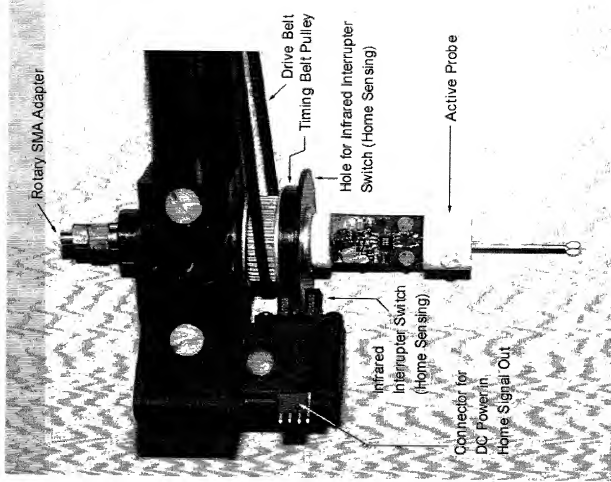


FIG. 30

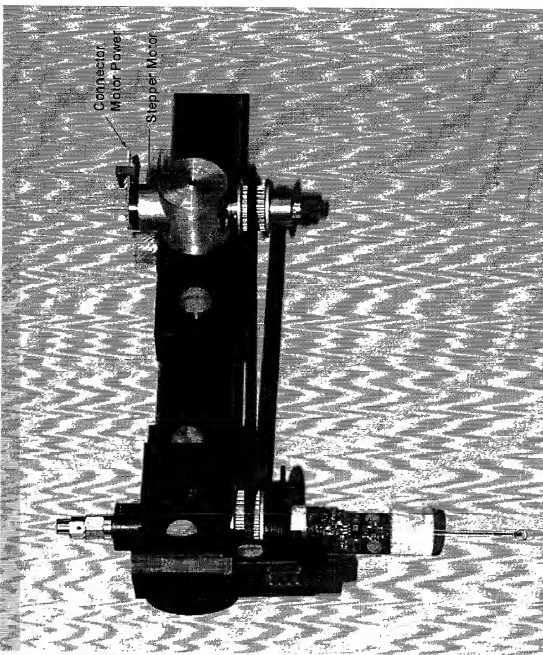


FIG. 31

FIGURE 32

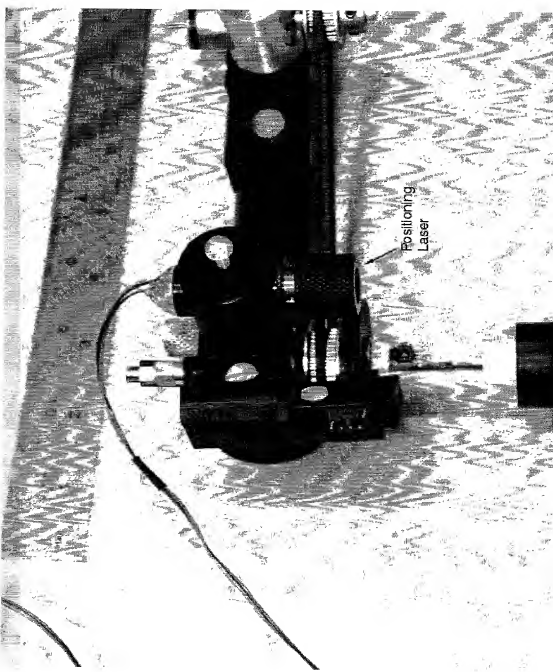


FIG. 32

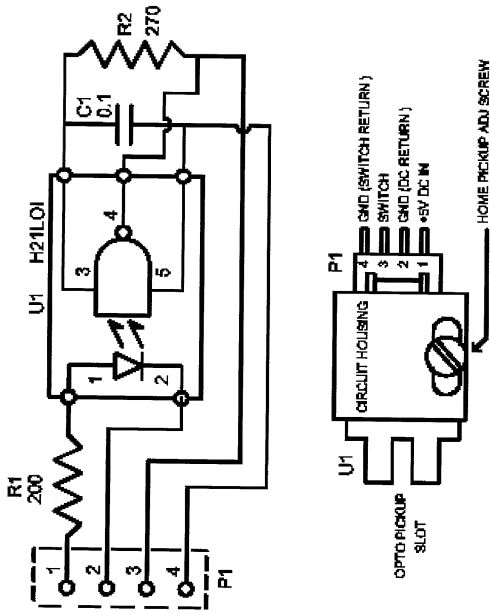


FIG. 33

FIG. 34

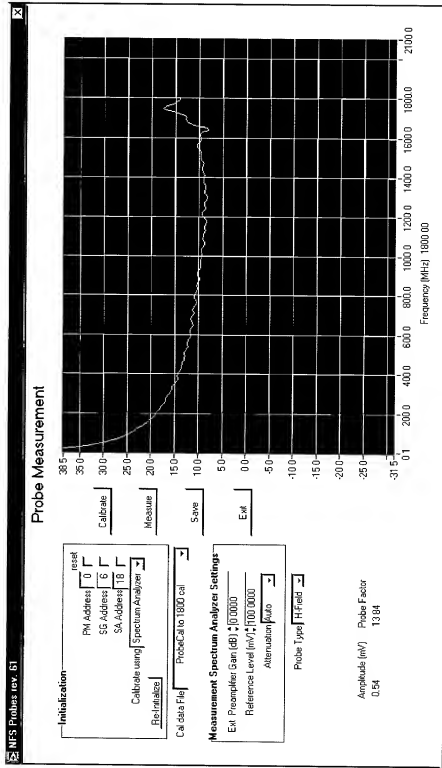
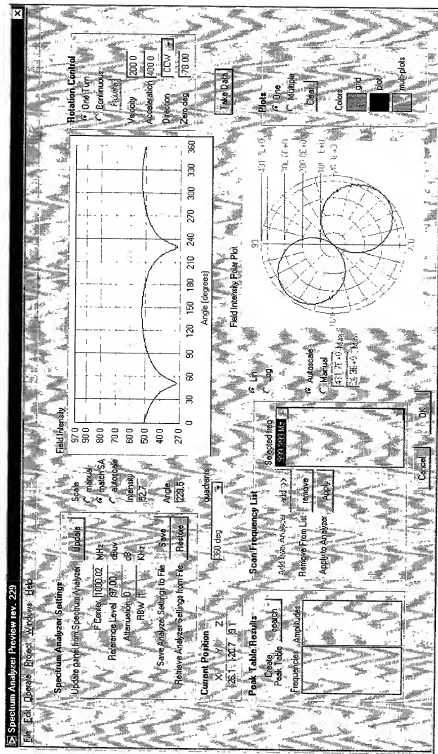


FIG. 35



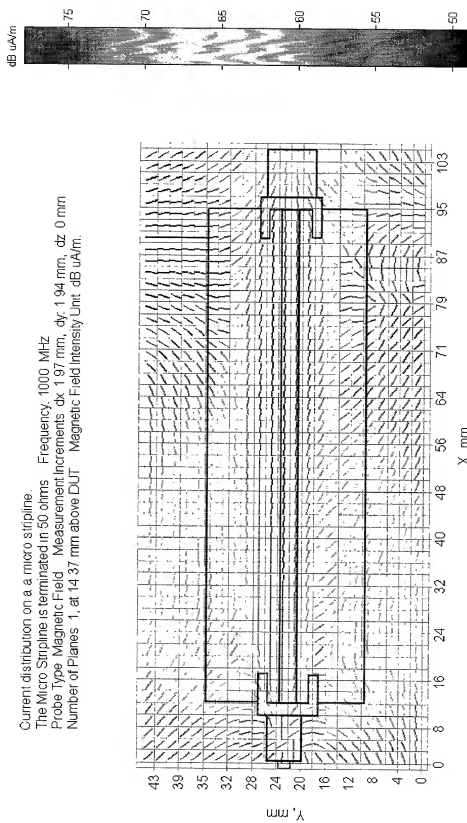


FIG. 36

FIG. 37

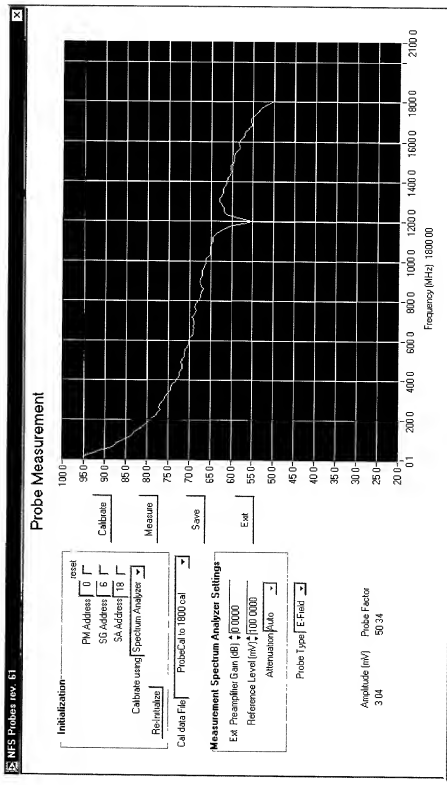
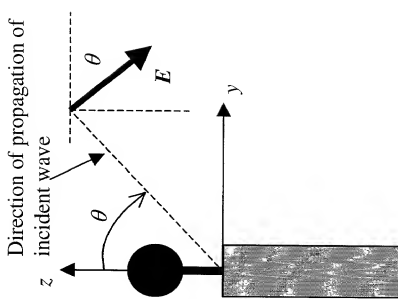


FIG. 38



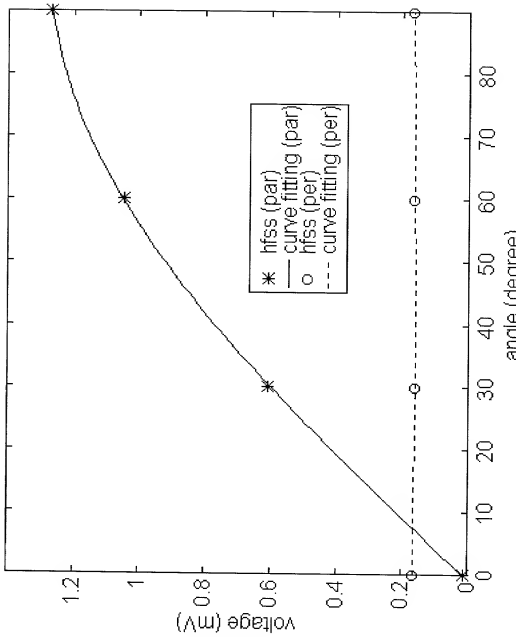


FIG. 39

FIG. 40

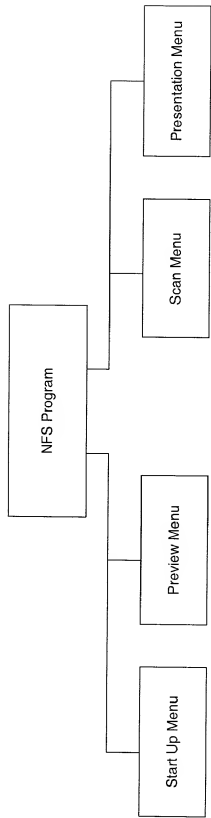
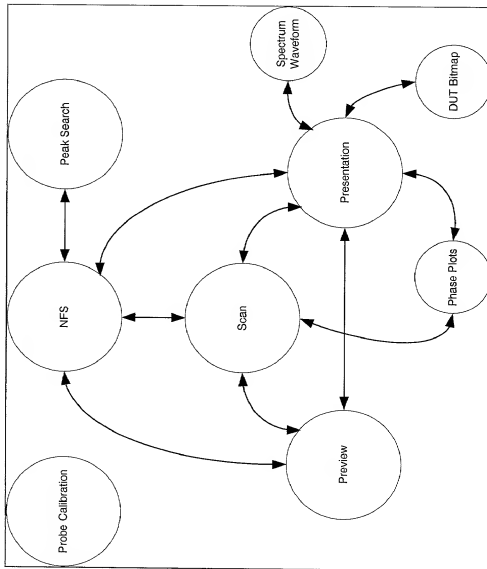


FIG. 41



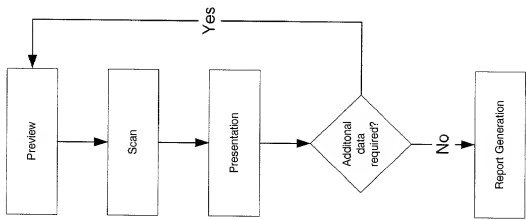


FIG. 42

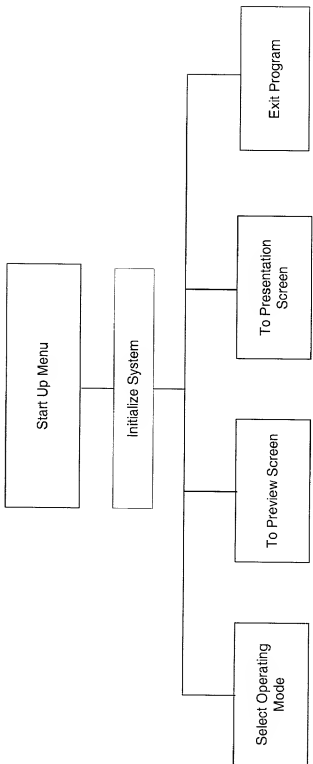


FIG. 43

FIG. 44



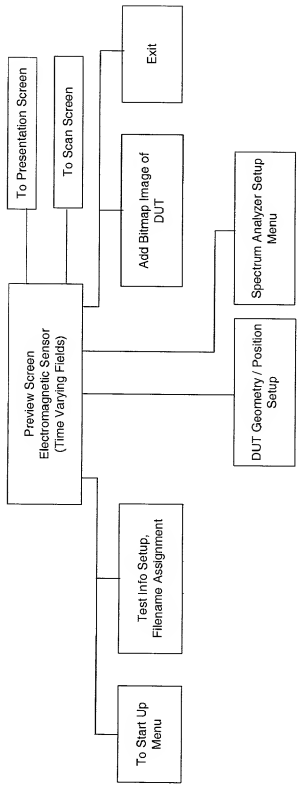


FIG. 45

THREE = THREE

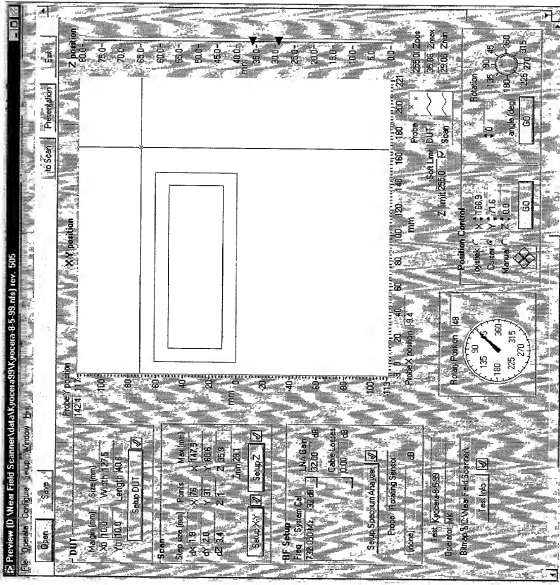


FIG. 46

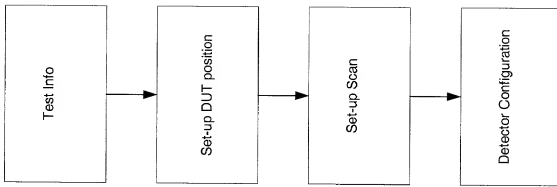


FIG. 47

FIG. 48

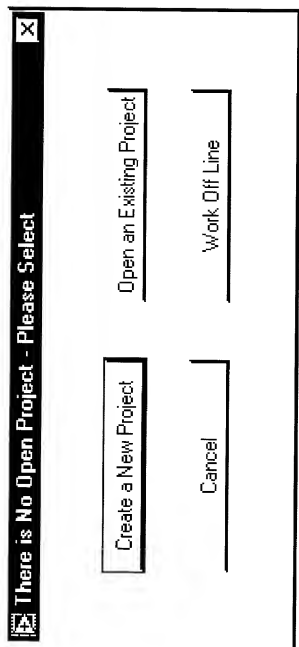
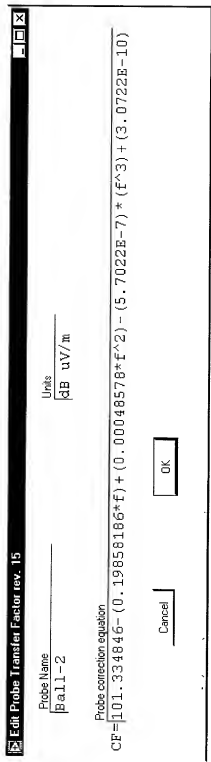


FIG. 49



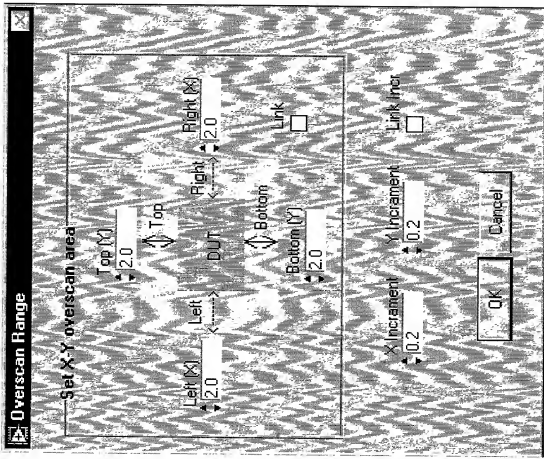


FIG. 50

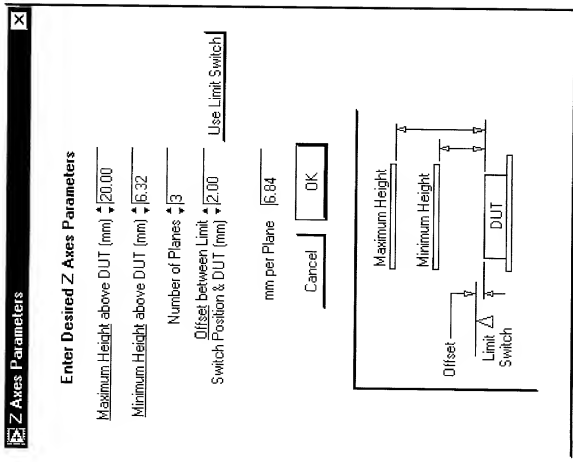


FIG. 51

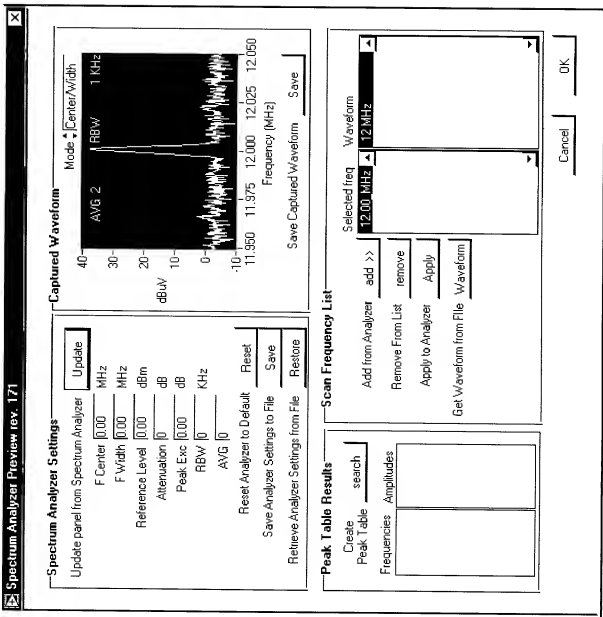
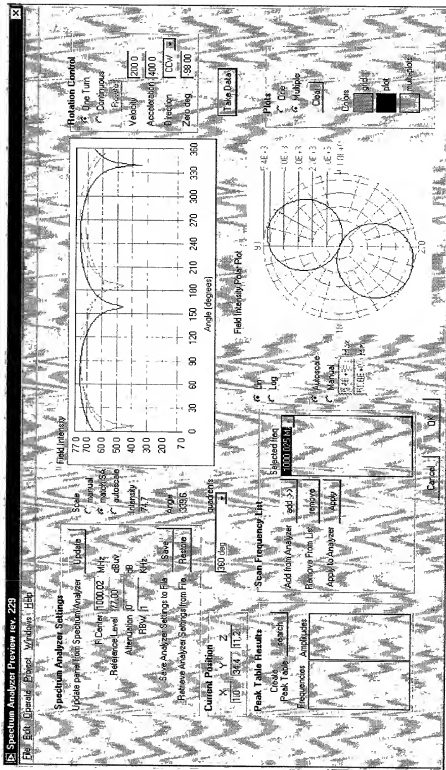


FIG. 52

FIG. 53



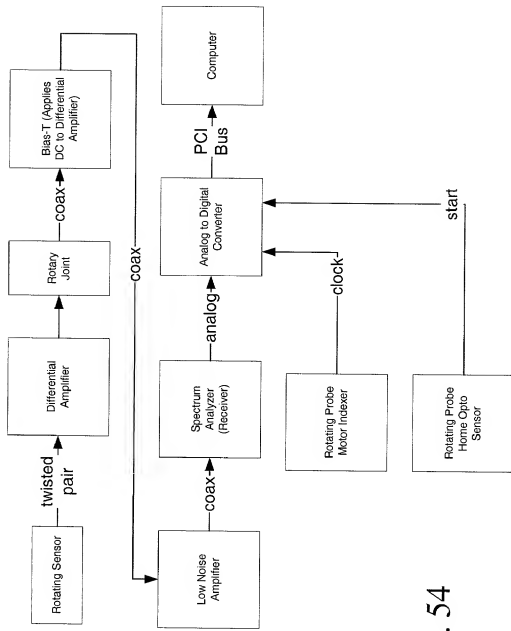


FIG. 54

FIG. 55

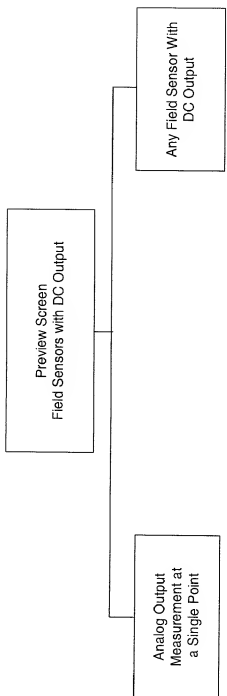
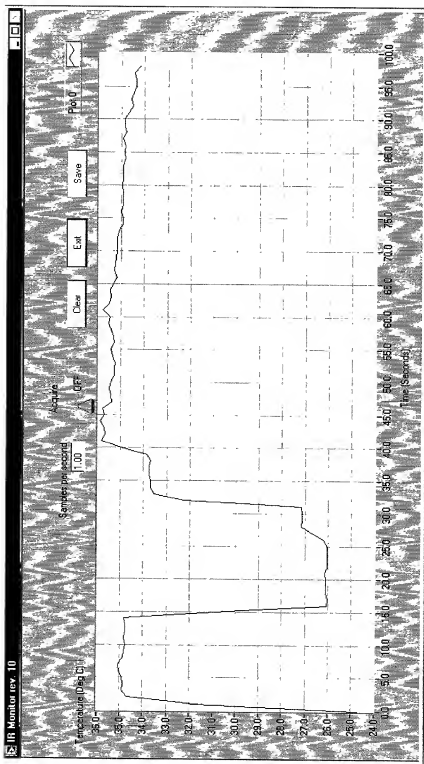


FIG. 56



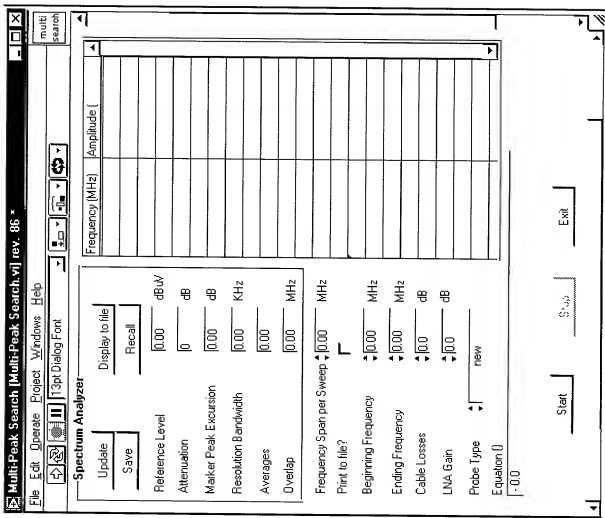


FIG. 57

FIG. 58

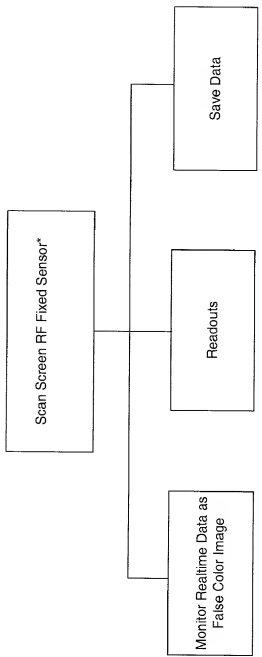
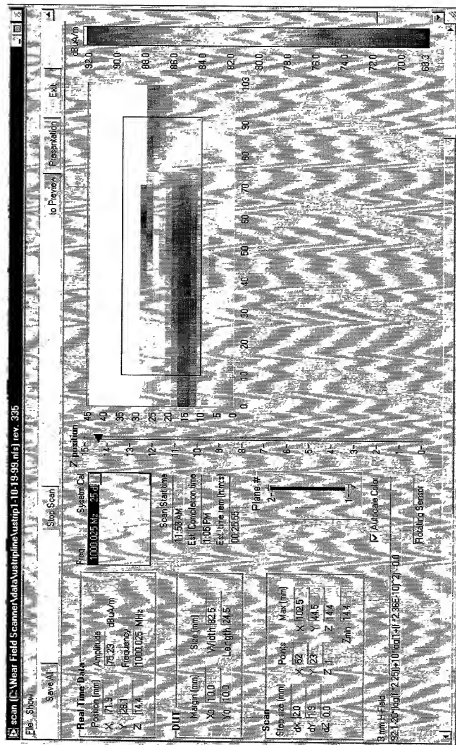


FIG. 59



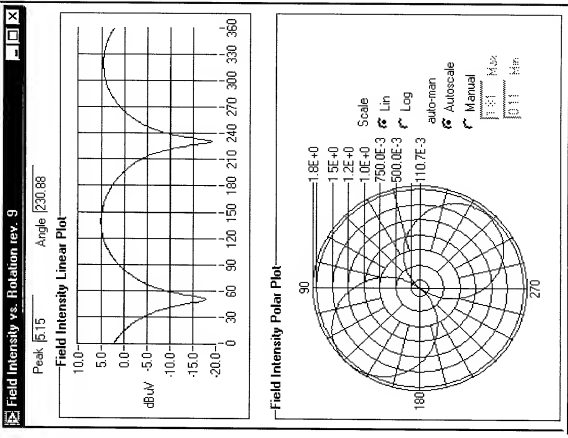


FIG. 60

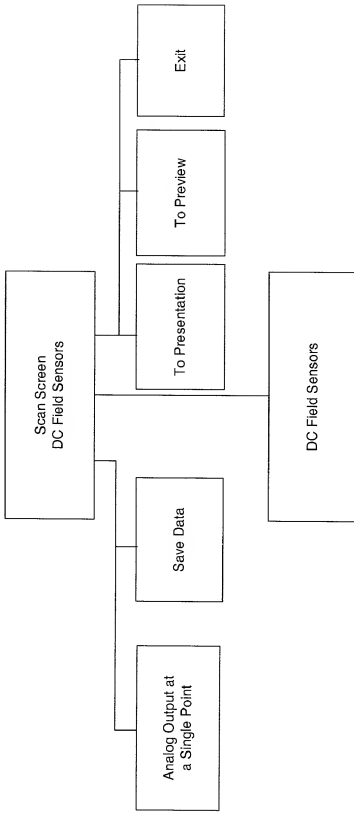


FIG. 61

FIG. 62

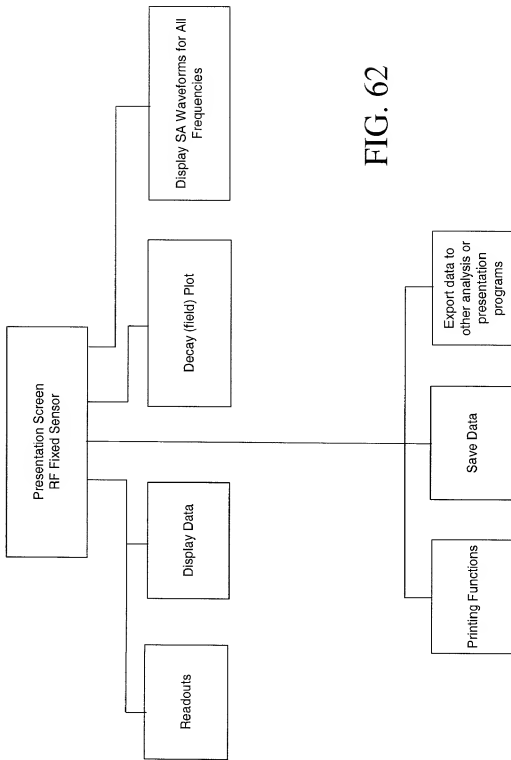
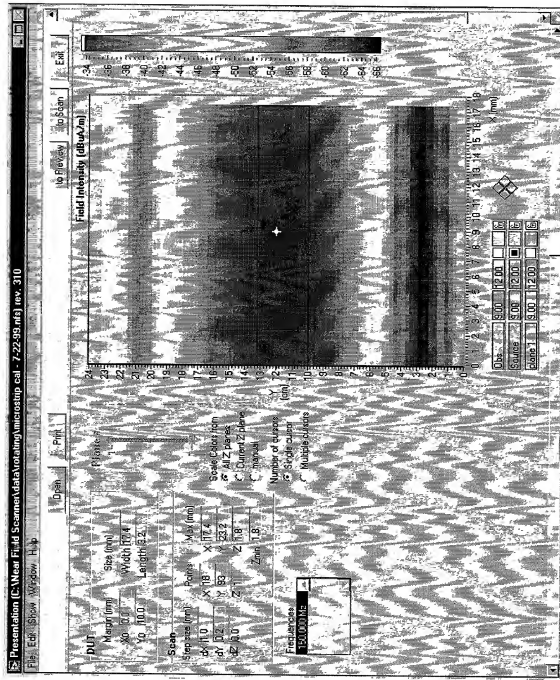


FIG. 63



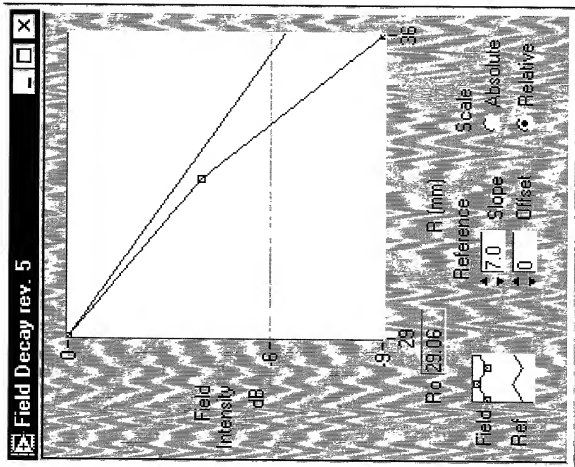


FIG. 64

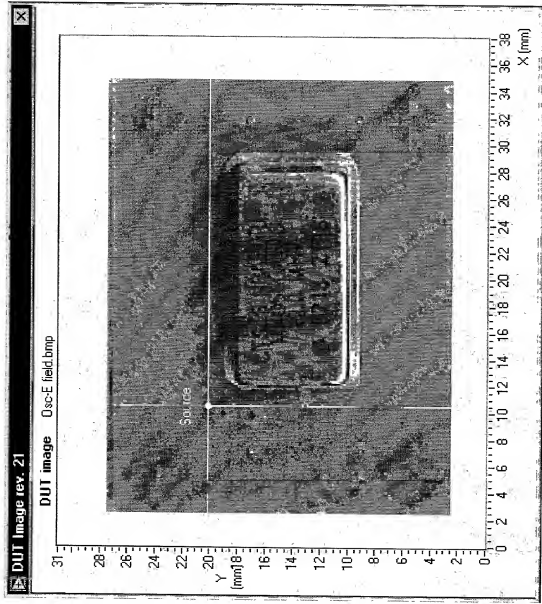


FIG. 65

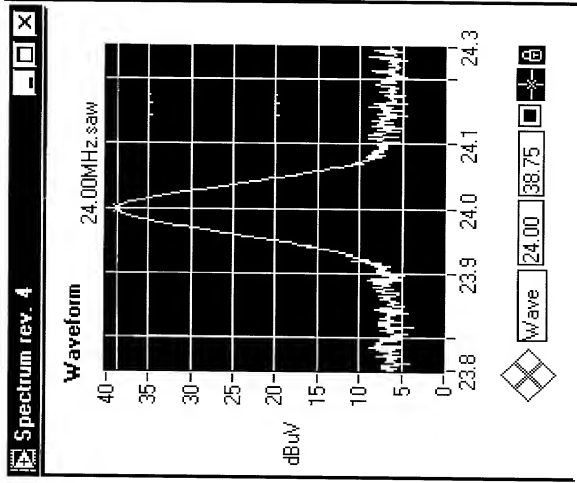


FIG. 66

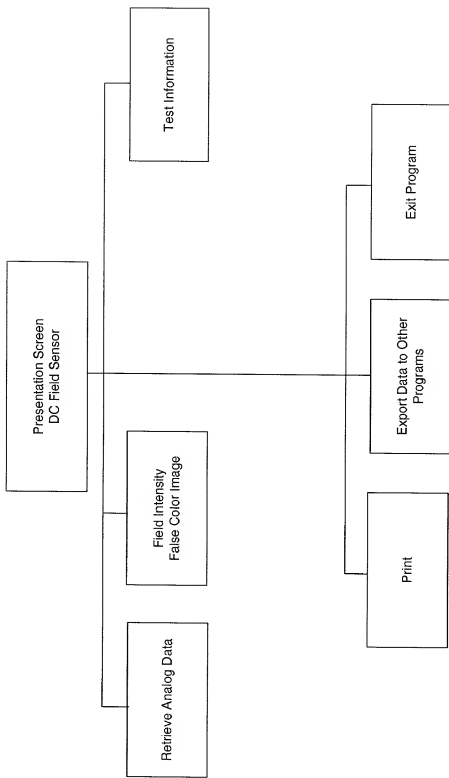


FIG. 67

FIG. 68

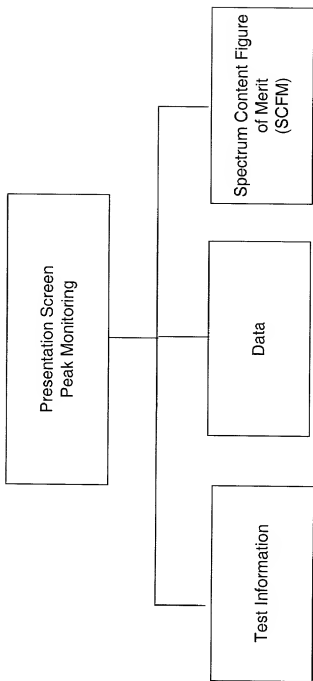


FIG. 69

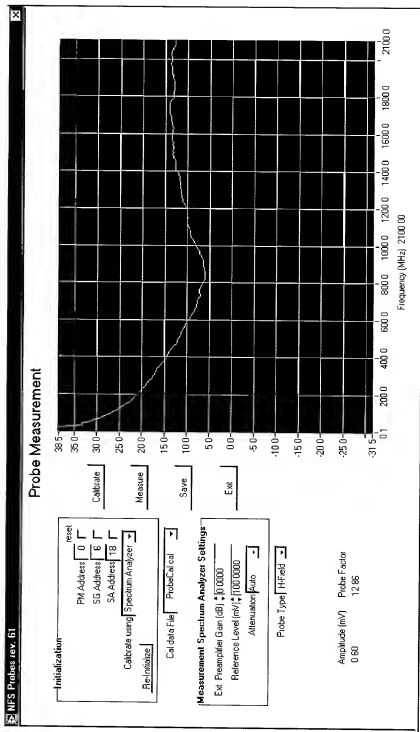
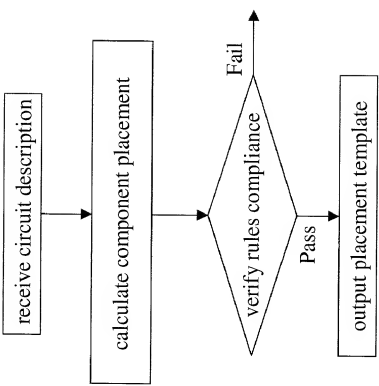


FIG. 70 (RELATED ART)



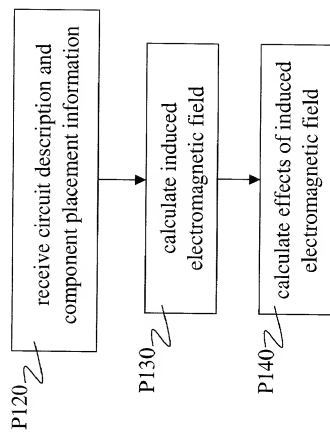


FIG. 71

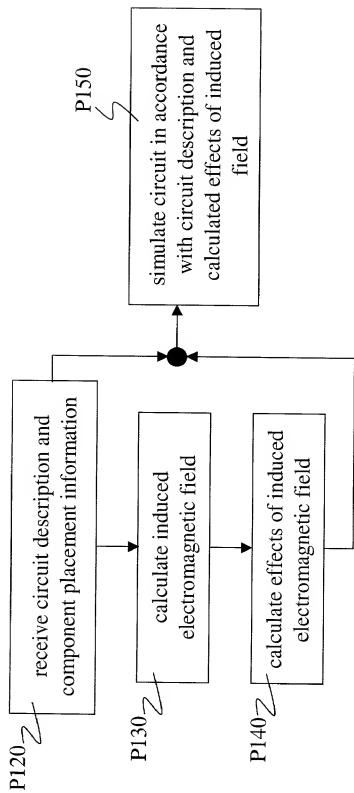


FIG. 72

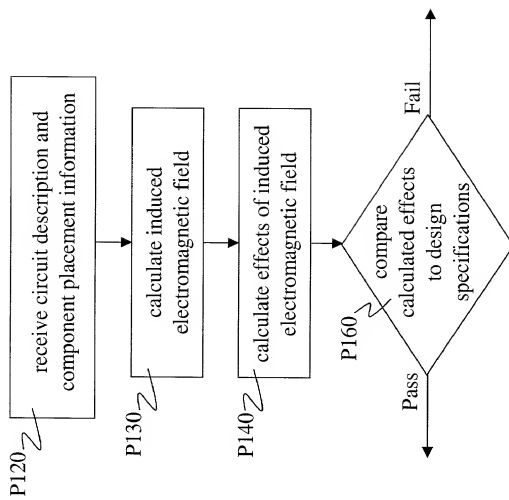


FIG. 73

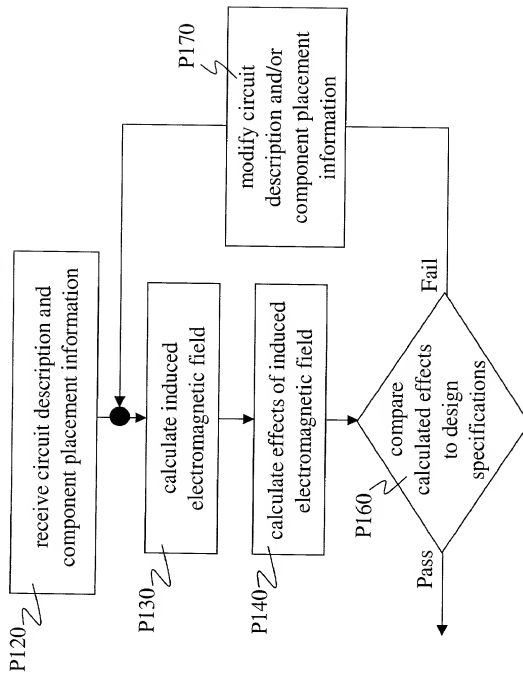
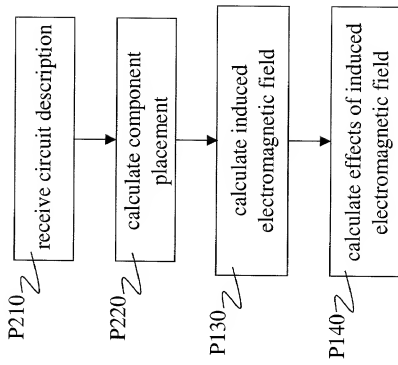


FIG. 74

FIG. 75



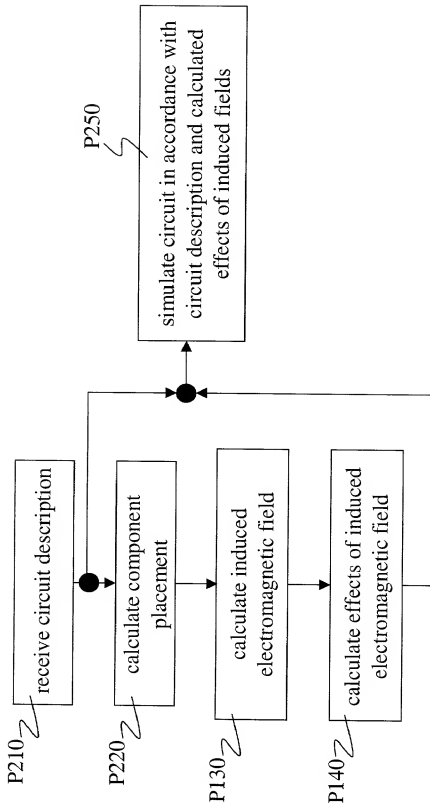


FIG. 76

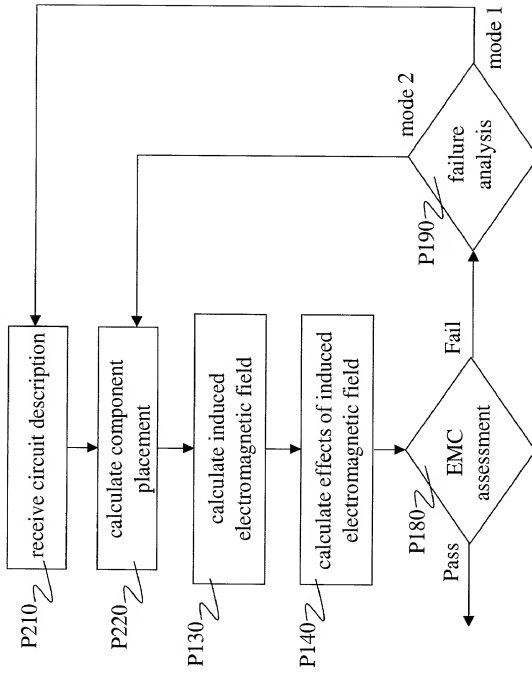


FIG. 77

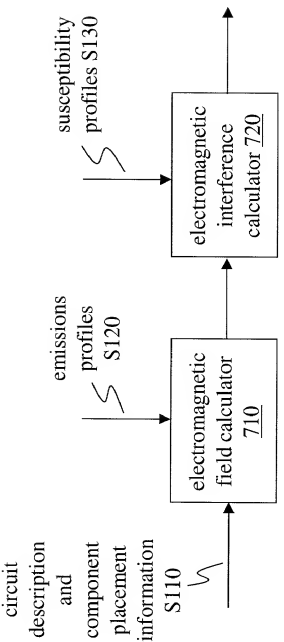


FIG. 78

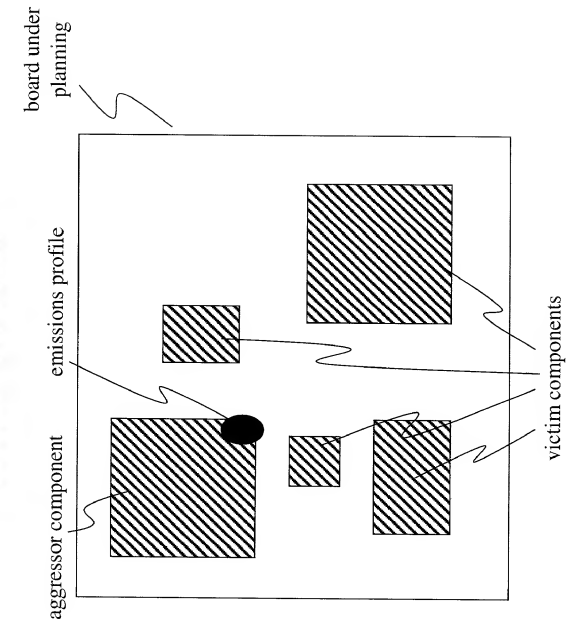


FIG. 79

FIG. 80

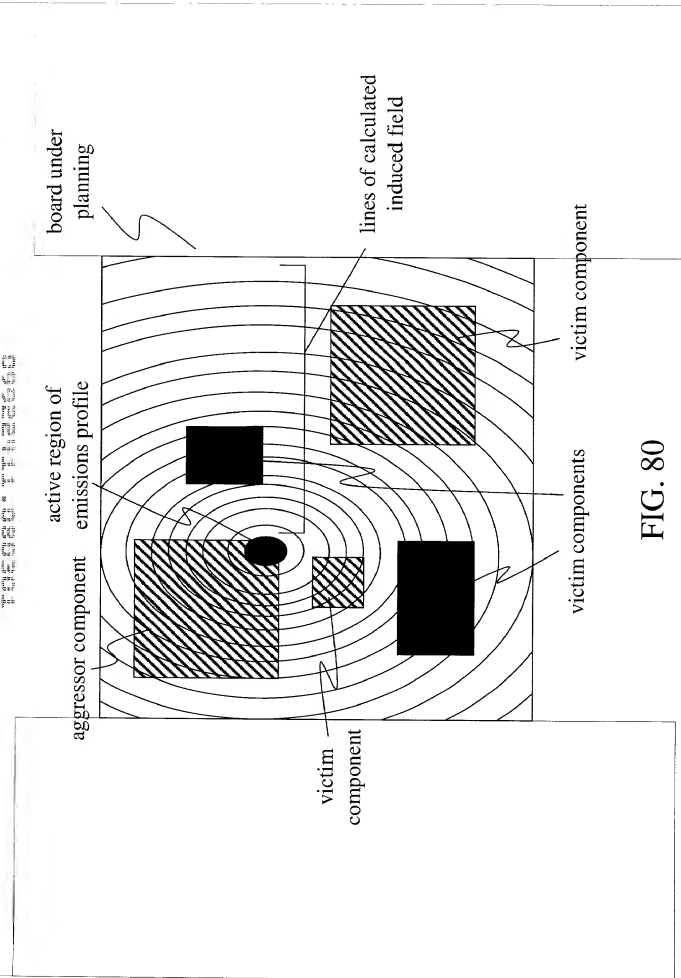


FIG. 81

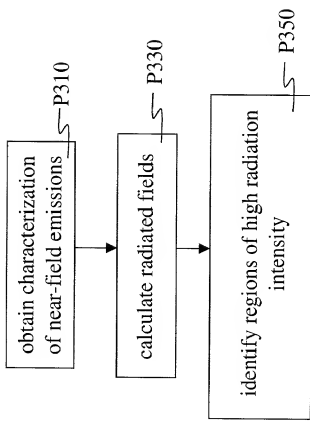
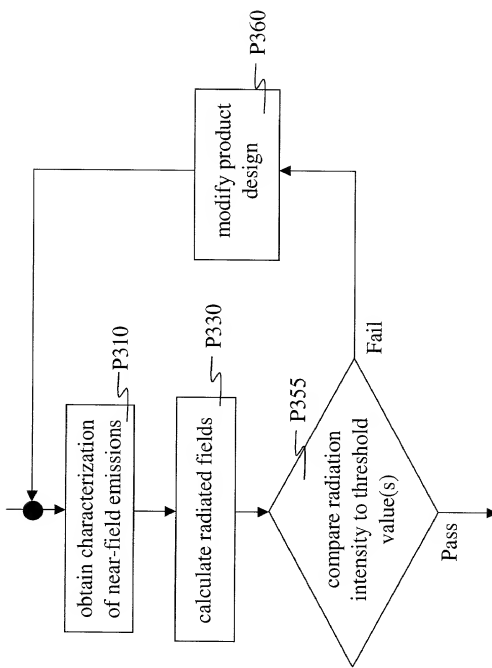


FIG. 82



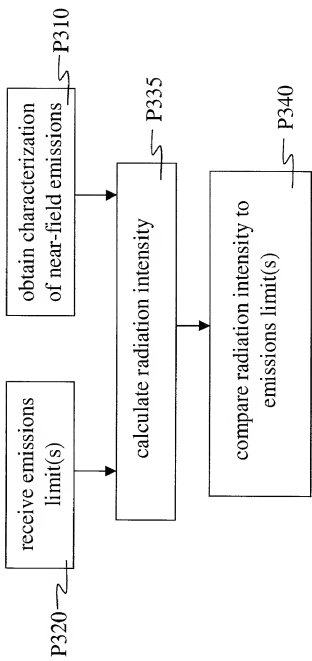


FIG. 83

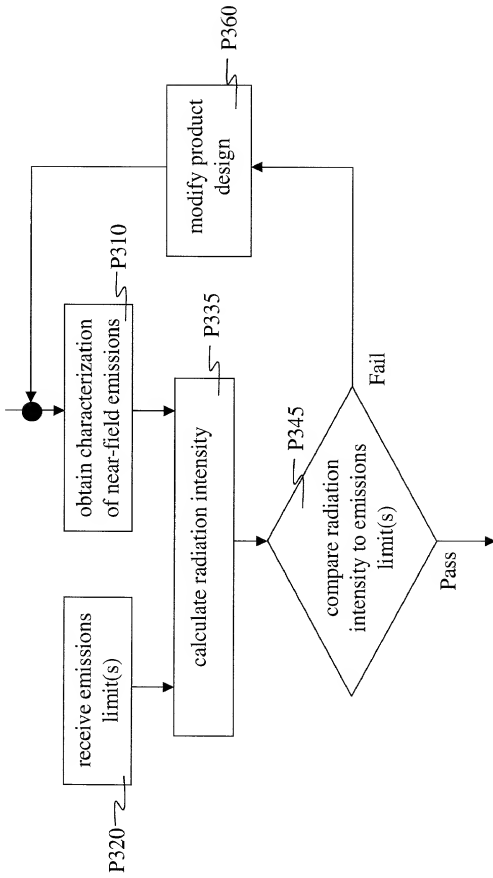


FIG. 84

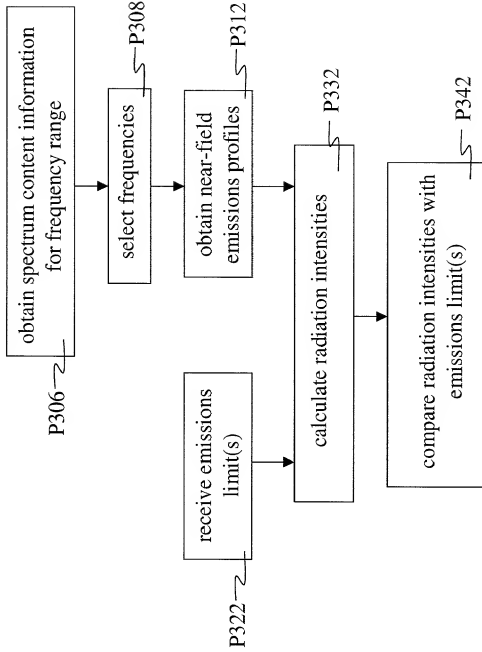


FIG. 85

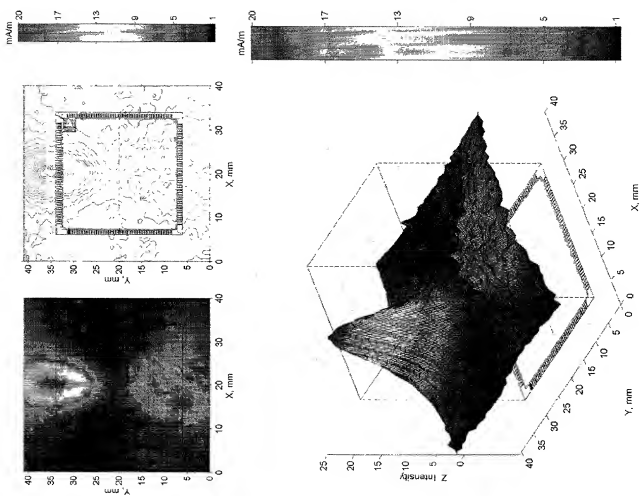


FIG. 86

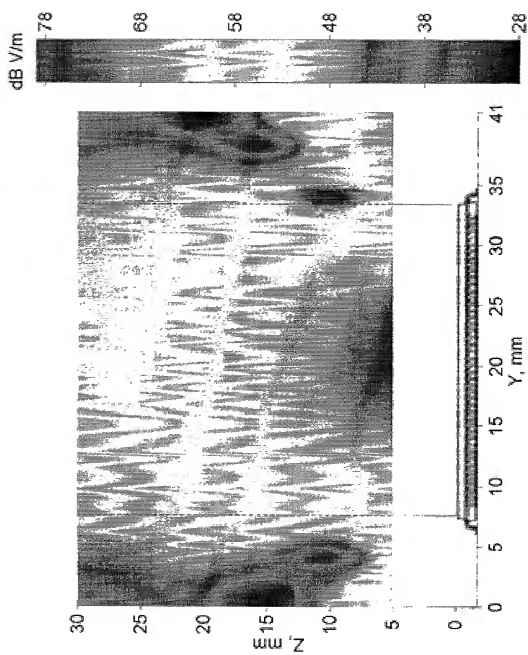
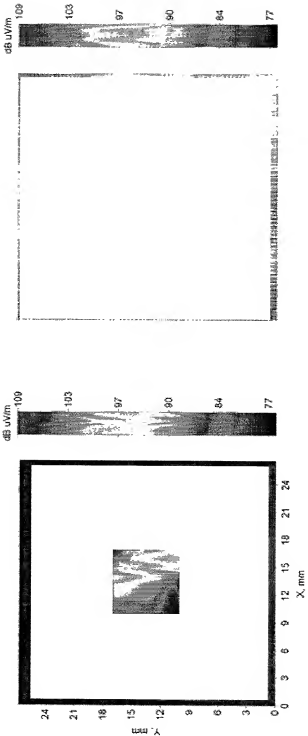


FIG. 87

FIG. 88



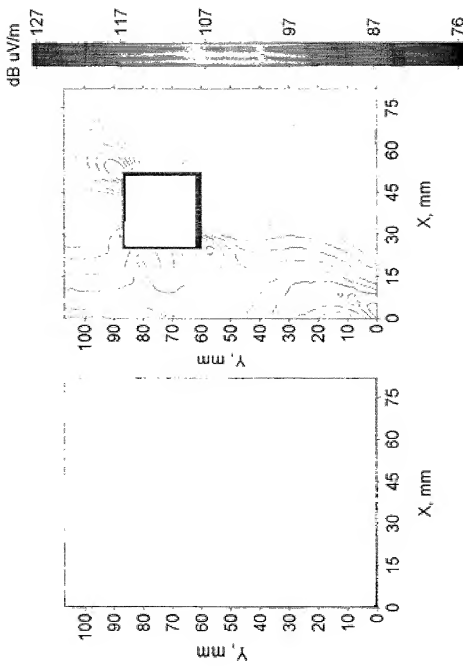


FIG. 89

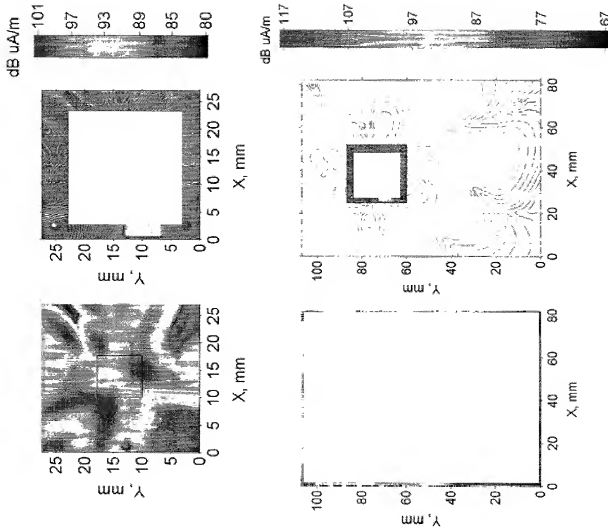
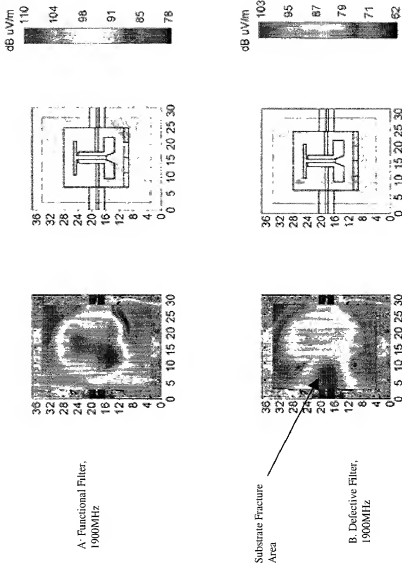


FIG. 90

FIG. 91



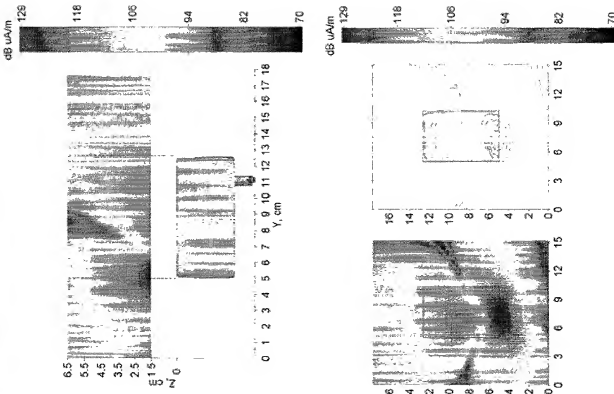


FIG. 92

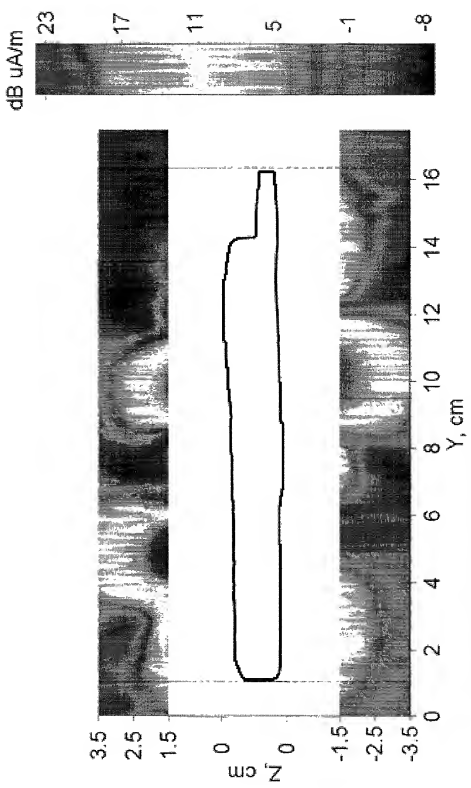


FIG. 93

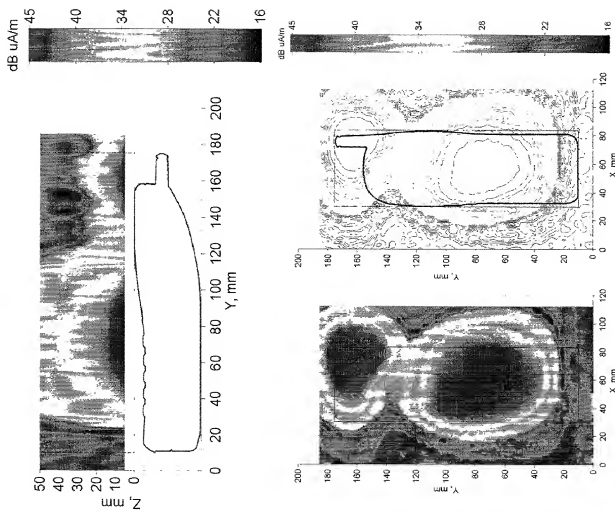


FIG. 94

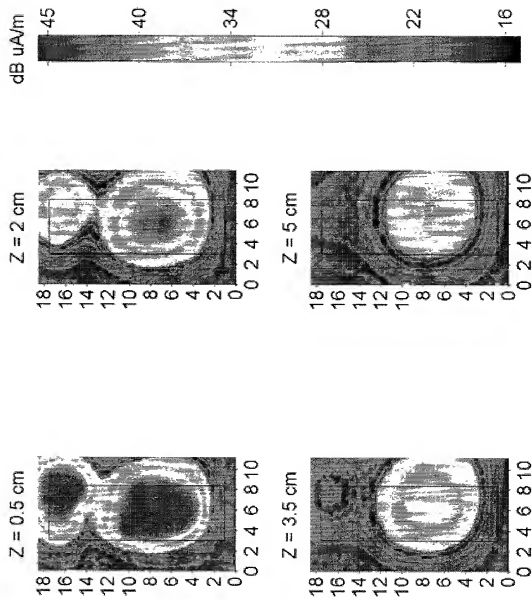


FIG. 95

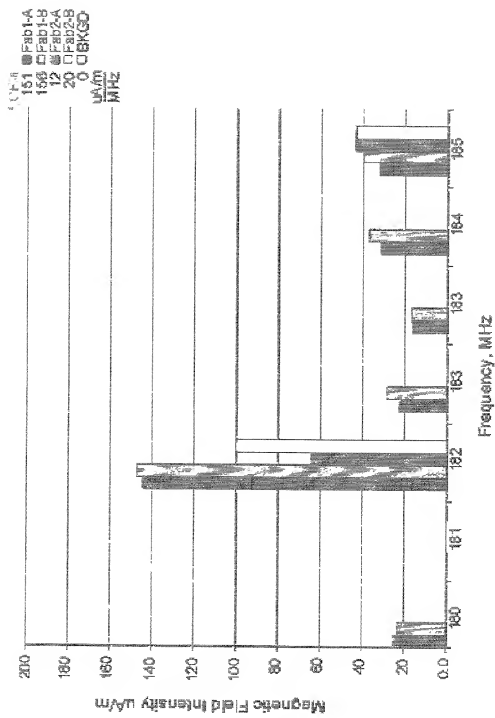
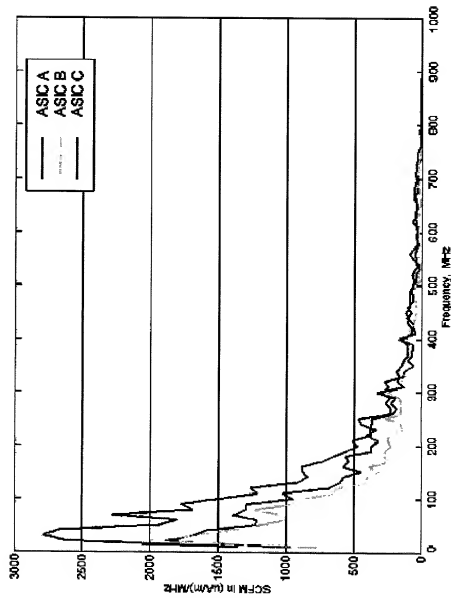


FIG. 96

FIG. 97



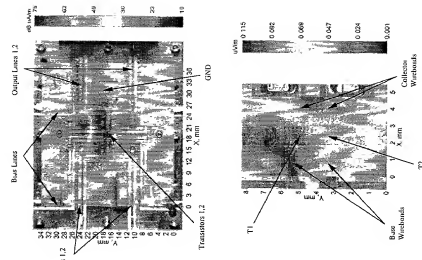


FIG. 98

$$T^{\alpha} \Omega^{\beta} \otimes T^{\gamma} \Omega^{\delta} = T^{\alpha+\gamma} \Omega^{\beta+\delta} \otimes T^{\alpha+\gamma} \Omega^{\beta+\delta}$$

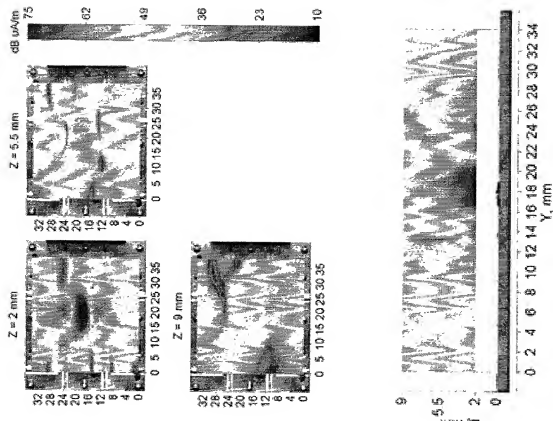


FIG. 99

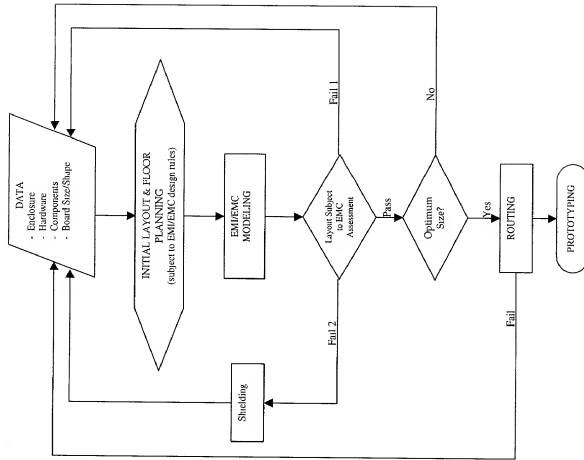


FIG. 100